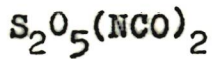


C-N-S-O



(Tm)

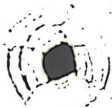
11 5486
1958

Appel R., Gerber H.

Angew. Chem., 1958, 70, № 9, 271

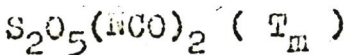
Isocyanate der ...

Be



8250 - IV

1961



Lehman H.-A., Riesel L., Höhne K.,
Maier E.

Z.anorgan.und allgem.Chem., 1961,
310, N 4-6, 298-304 ('Нем.')

Zur Chemie des Schwefeltrioxyds,
XVI. ...

РХ., 1962, 11B25

Есть оригинал.

1963

9879

NOSCIT (Kp)

Stedman G., Whincup P.A.B.
J. Chem. Soc., 1963, Doc.,
5796-99

The equilibrium constant for ...

W.M

~~N₂O₃C~~

M 1598 - IV

1966

HSCN (K_A)

Pribalat S., Caldero J.M.

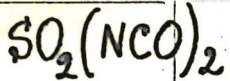
Bull.Soc. Chim.France 1966, (2), 774-5

Dissociation constant of thiocyanic acid in water

F

Ja

CA., 1966, 64, N 13, 18498e



C-N-S-O

p

Noftle R.E., Shreeve J.M. 1968

Inorgan. Chem.,

7, N4, 687

Природные к гвозди
челю C=N в оторвавшему-
щемся азотам, F₂SO₂NCO.

(см. C-N-S-Hal) I

(CH₃)₃N·SO₂ (gas phase)

1971

(46327) Solvent effects on strong charge-transfer complexes.

IV. Trimethylamine and sulfur dioxide in the vapor phase.

Grundnes, Just; Christian, Sherril D.; Cheam, Venghuot;

Farnham, Sutton B. (Dep. Chem., Univ. Oklahoma, Norman,

Oklahoma). *J. Amer. Chem. Soc.* 1971, 93(1), 20-3 (Eng).

Thermodynamic consts. for the formation of the 1:1 mol. complex between Me₃N and SO₂ have been obtained from PVT and vapord. data for equimolar mixts. of these gases at 35-44°.

Results are in excellent agreement with those obtained previously from measurements of uv spectra. The present research supports the previous conclusion that the extinction coeff. and oscillator strength of the charge-transfer band of Me₃N-SO₂ are nearly the same in the gas phase as in the solvent heptane; in this respect the complex differs from all other charge transfer complexes for which both gas-phase and soln. data are available.

RCJC

C.A. 1971. 74:10.

$\text{SCNS}_2\overset{2-}{\text{O}}_3$

19 Б969. Исследование методом импульсного радиолиза образования радикал-анионов $\text{SCNS}_2\overset{2-}{\text{O}}_3$. Schönenhöfer M. Pulsradiolytische Untersuchung über die Bildung des Radikal-Anions $\text{SCNS}_2\overset{2-}{\text{O}}_3$. «Ber. Bunsenges. phys. Chem.», 1973, 77, № 4, 257—262 (нем.; рез. англ.)

1973

Методом импульсного радиолиза со спектрофотометрич. регистрацией промежут. продуктов изучены р-ции радикалов OH в водн. р-рах, насыщенных N_2O (N_2O превращает гидратированные электроны в радикалы OH), с ионами SCN^- в присутствии малых кол-в $\text{S}_2\overset{2-}{\text{O}}_3$. В этих условиях обнаружено образование $\text{SCNS}_2\overset{2-}{\text{O}}_3$ наряду с радикал-анионами (PA) $(\text{SCN})_2^-$ и $\text{C}_4\overset{3-}{\text{O}}_6$. PA $\text{SCNS}_2\overset{2-}{\text{O}}_3$ имеет максимум в спектре поглощения при 4200\AA с $\epsilon = 7,4 \cdot 10^3$ л/моль·см. В присутствии высоких конц-ий SCN^- ($\sim 5 \cdot 10^{-2}$ М) быстро устанавливаются равновесия $(\text{SCN})_2^- + \text{S}_2\overset{2-}{\text{O}}_3 \rightleftharpoons \text{SCNS}_2\overset{2-}{\text{O}}_3 + \text{SCN}^-$ и $\text{SCNS}_2\overset{2-}{\text{O}}_3 \rightleftharpoons \text{SCN}^- + \text{S}_2\overset{2-}{\text{O}}_3$, константы к-рых равны соотв. $1,6 \cdot 10^2$ и $8,3 \cdot 10^{-4}$ М. Для равновесий $\text{SCNS}_2\overset{2-}{\text{O}}_3 + \text{S}_2\overset{2-}{\text{O}}_3 \rightleftharpoons \text{C}_4\overset{3-}{\text{O}}_6 + \text{SCN}^-$ и $\text{SCNS}_2\overset{2-}{\text{O}}_3 \rightleftharpoons \text{S}_2\overset{2-}{\text{O}}_3 + \text{SCN}^-$ константы найдены соотв. $> 8,3 \cdot 10^2$ и $3,1 \cdot 10^{-8}$ М.

В. Е. Скурат

X. 1973 N 19

OC(NCS) 2
24 B21. Химические реакции в расплавах солей.
XV. Получение и реакции карбонилгалогенидов и -псевдогалогенидов. Jäck h Christof, Sunder-
meyer Wolfgang. Chemische Reaktionen in Salz-
schmelzen. XV. Darstellung und Reaktionen von Carbo-
nylhalogeniden und -pseudohalogeniden. «Chem. Ber.»,
1973, 106, № 6, 1752—1757 (нем.; рез. англ.)

1973

(TB)
Предложены способы получения карбонилгалогени-
дов и -псевдогалогенидов в расплаве хлоридов при на-
гревании. Пропускание OCX_2 в расплав эвтектики си-
стемы $NaCl-KCl$, содержащий $KOCN$, при 400° при-
водит к образованию $OC(NCO)_2$ (I) и $XCO(NCO)$, где
 $X=Cl$ (II) или F (III). Т. к. р-ция взаимодействия II
и III с $KOCN$ с образованием I протекает значительно
быстрее р-ций образования II и III, получение II и III

объяснено р-цией перераспределения между исходными
 OCX_2 и I. Р-ции перераспределения предложены также
для получения других $OCXX'$. Р-цией OCF_2 и $OCCl_2$
в мол. отношении 1:1 предложено получать $OCFCI$,
а р-цией $OCCl_2$ с I или $Si(NCO)_4$ при 180 и 250°
соотв.—II (выход 56 и 54% соотв.). Взаимодействие
 OCF_2 с I приводит к колич. выходу III. При р-ции III
в $CFCI_3$ при -78° с AsF_5 образуется бесцветный мел-

(+)
спинайбр.

(2)

кокрист. продукт (IV), разлагающийся при -20° . Данные ИК-спектроскопии (полосы поглощения 700 и 400 см^{-1}) указывают на наличие в IV ионов AsF_6^- , что в совокупности с данными ЯМР ^{19}F -спектроскопии для III дает основание предполагать, что III легко теряет свой атом F при р-ции с сильными к-тами по Льюису, а IV имеет строение $(\text{OCNCO})^+\text{AsF}_6^-$. При р-ции OCX_2 с KSCN в расплаве смеси NaCl и KCl образуется $\text{OC}(\text{NCS})_2$ (V). V (т. кип. $83^\circ/16\text{ мм}$) быстро гидролизуется, при долгом стоянии приобретает красную окраску, при хранении на воздухе быстро разлагается. Образования $\text{ClCO}(\text{NCS})$ аналогично II не подтверждено. $\text{FCO}(\text{NCS})$ (VI) образуется при р-ции OCF_2 и V в автоклаве при $50-60^\circ$ при использовании двухкратного избытка OCF_2 , однако выход VI низок (17%) вследствие сильной склонности к полимеризации. III реагирует с HX с образованием $\text{FCO}-\text{NH}-\text{COX}$, где X=F (VII), Cl (VIII), Br (IX). VII — жидкий, VIII и IX — бесцв. крист. в-ва, т. пл. VII 4° , т. сублимации в вакууме VIII и IX 50° . При нагревании VII—IX разлагаются на исходные в-ва. По данным ИК- и ПМР-спектроскопии, протон в VII имеет кислотный характер и возможно образование солей типа $M^+[\text{N}(\text{COF}_2)]^-$, где M^+ — одновалентный катион. Сообщ. XIV см. РЖХим, 1968, 12Ж389.

FCO-NH-

$-\text{COF}$

FCO-NH-

COCl

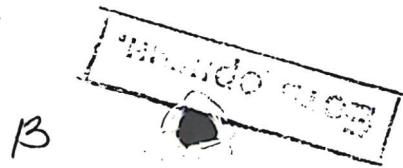
FCO-NH-

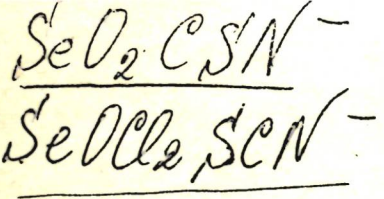
$-\text{COBr}$

$(T_m)(T_s)$

$\frac{S'D_2 SCN^-}{S'D_2 Cl_2 SCN^-} (K_p)$; $SOC_2 SCN^-$; $X\bar{IV}$ 5448 ¹⁹⁷³

Wasif Saad, Salama S. B.,
J. Chem. Soc. Dalton Trans.,
1973, N20, 2148-50





1976

Wasit S.

Mol. Spectrosc. Dense
Phases, Proc. Eur.
Congr. Mol. Spectrosc.
12th, 1975 (Pub. 1976) 649-53

(ac₁ SO₂Cl)⁻ I

$[(CH_3)_4N]_2SO_3$

1977

14 В1. Получение селеносульфата тетраметиламмония. Инфракрасные спектры и спектры КР селеносульфата и тиосульфата тетраметиламмония. Klaeboe Peter, Martinsen Arve, Songstad Jon. Preparation of tetramethylammonium selenosulfate. Infrared and Raman spectra of tetramethylammonium selenosulfate and thiosulfate. «Acta chem. scand.», 1977, A31, № 1, 56—62 (англ.)

X_2SO_3 (везде $X=Me_4N$) получен из XJ и Ag_2SO_3 в $MeOH$. X_2SO_3 не реагирует с порошком черного Se в $MeOH$ при комн. т-ре, однако при кипячении Se быстро вступает в р-цию, давая X_2SeSO_3 (I) с выходом >70%. В $MeCN$ SO_3^{2-} реагирует с Se, давая $S_2Se_2O_6^{2-}$. Анало-

(Tm)

1977. N/4

тично из X_2SO_3 и серы в MeOH синтезирован X_2SSO_3 (II). I медленно разлагается на воздухе, устойчив в закрытом сосуде, ограниченно р-рим в EtOH, не р-рим в Me_2CO и MeCN. В MeOH при кипячении или при 25°, а также в H_2O при 25° и pH 6 I разлагается с выделением Se. Взаимодействием I с Ph_4AsCN в MeOH получен $Ph_4AsSeCN$, р-ция Ph_3P с I в MeOH дает Ph_3PSe . Р-цией I с RJ при комн. т-ре в MeOH получены $RXSeSO_3$, где R=Me (III), 4-нитробензил (IV). Т.пл. I—IV, соотв., 171 (разл.), 238—40, 171 (разл.), 175—7° (разл.). Сняты ИК- и КР-спектры I и II, сделано отнесение колебаний. Предположено, что ион $SeSO_3^{2-}$, подобно $S_2O_3^{2-}$, имеет тионовую структуру (C_{3v}). И. В. Никитин

1981

CS(NO2)2

C-N-3-0

(T_{t2})

195: 107102y Electric field phase diagram of thiourea determined by optical birefringence. Jamet, Jean Pierre (Lab. Phys. Solides, Univ. Paris-Sud, 91405 Orsay, Fr.). *C. R. Seances Acad. Sci., Ser. 2* 1981, 292(16), 1119-22 (Fr). The phase diagram of thiourea in the (E , T) plane was detd. by measuring linear birefringence measurements. This is the first time that such a diagram has been detd. in a system which undergoes transitions to an incommensurate phase. The transition line consists of 3 parts: a first order line $T_H(E)$ sepg. the ferroelec. phase from the incommensurate phase which terminates at a max. field $E_M = 2,285 \pm 10$ V/mm with $T_M = 210 \pm 0.2$ K, where the birefringence jump is zero, a 2nd order line $T_\lambda(E)$ sepg. the paraelec. phase from the incommensurate one which terminates at a point $E_\nu \approx 2,050$ V/mm, $T_\nu \approx 212.5$ K; between (E_M , T_M) and (E_ν , T_ν), the transition line looks to be weakly first order.

C.A.1981, 95, n12

$\text{CO}_8^+ \text{N}_2\text{O}$

(m 34448)

1990

Shawder K., Scanlon M.,
et al.,

(Ap. 5H)

Int. J. Mass Spectrom.
and Ion Process. 1990,
97, N2,
143 - 149.

$S^1 CNO^+$
90k - 80

1999

(MacCrennan
cycle entry. 6
2nd page)

130: 215372m Identification of singlet and triplet SCNO⁺ cations in the gas phase: theory and experiment. Flammang, Robert; Gerbaux, Pascal; Wong, Ming Wah (Department of Organic Chemistry, University of Mons-Hainaut, B-7000 Mons, Belg.). *Chem. Phys. Lett.* 1999, 300(1,2), 183–188 (Eng), Elsevier Science B.V.. Exptl. evidence, based on collisional activation (CA) mass spectrometry, is provided for the existence in the gas phase of SCNO⁺ singlet and triplet cations. The prodn. of the triplet state is enhanced upon collisional activation with O₂ or NO as collision gas. The identification of the 2 spin states of SCNO⁺ is strongly supported by ab initio calcns. of their unimol. fragmentation energies. Theory predicts SCNO⁺ has a singlet ground state, with the triplet state lying close in energy (38 kJ mol⁻¹). The singlet state is best described as an ion–neutral complex (SC-NO⁺) while the triplet state is a normal covalently bounded species (S:C:N⁺:O). The CA mass spectrum of the isomeric SNCO⁺ ions is also discussed.

C.A. 1999, 130, N16.